

九州大学 正員 山崎徳也

学生員 金子忠男・田中 実修

1. 緒言 矩形板が弾性ばりにて支持されるごとき板-骨組複合構造物の解法に関する研究はこれまで多くなされて来たが、これらの既往研究はいずれも板一骨組にて一骨組の場合は「」で構成されている。しかるに、土木、建築などの分野で多見られる実際構造物においては、板を弾性支持する部材は連続ばりあるいはラーメンで構成される場合が多いとんどである。したがつて本研究は矩形板がその中间で多数の連続ばりあるいはラーメンにより弾性支持される一方圧連続矩形板の解法を示し、弹性骨組加平板に及ぼす力学的特性を明確せんとするものである。

2. 解法 図-1(a)に示すごとき m パネルで構成される一方圧連続板における、第 i 番目のパネルに注目する。パネル①の中立面上に極部直交座標(x_i, y_i)を導入し、(a)図のごとく任意垂直荷重 $p_i(x_i, y_i)$ 加作用するものとすれば、パネル①の左端方向のたわみ w_{i1} は次式のごとき級数和の形で与えられる。

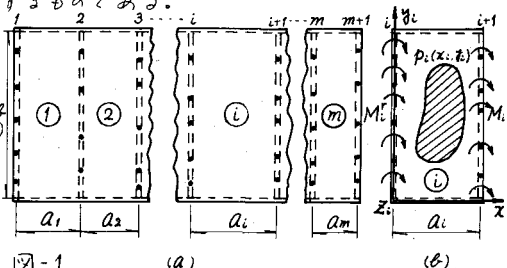


図-1 (a)

(b)

(1)

$$w_{i1}(x_i, y_i) = \sum_{n=1}^{\infty} (A_{ni} \sinh B_n x_i + B_{ni} \cosh B_n x_i + C_{ni} \sinh B_n x_i + D_{ni} \cosh B_n x_i) \sin B_n y_i + \sum_{m=1}^{\infty} G_{mn} \sinh A_m x_i \sin B_n y_i$$

ここに、 $A_{ni} \sim D_{ni}$ 構分定数、 $G_{mn} = \frac{4}{\alpha_i \beta_i} \int_{a_i}^{a_{i+1}} p_i(x_i, y_i) \sinh A_m x_i \sin B_n x_i d x_i / (D_i (C_m^2 + B_n^2))^2$ 、 $A_m = m\pi/a_i$ 、 $B_n = n\pi/\beta_i$ 、 n, m 正整数。
 $D_i = E_p h_i^3 / [12(1-\nu_i^2)]$ 、 E_p :パネル①のヤング率、 ν_i :パネル①のボアン比、 h_i :パネル①の板厚、 \sinh 、 \cosh は双曲線関数。

式(1)に含まれる構分定数 $A_{ni} \sim D_{ni}$ はパネル①の $x_i = 0$ 、 $x_i = a_i$ に亘る境界条件により決定されるが、パネル①は $x_i = 0$ 、 $x_i = a_i$ において弾性支持ばり、 $i+1$ は弾性支持され、かつ端モーメントの作用を受けるゆえ(図-1(a))、いま、弾性支持ばりのたわみをそれぞれ $d_{i1}(y_i)$ 、 $d_{i+1}(y_i)$ とし端モーメントを $M_i^l(y_i)$ 、 $M_{i+1}^l(y_i)$ とすれば、本題の境界条件として次式がえられる。

$$x_i = 0 \text{ 时 } (W_{i1})_{x_i=0} d_{i1}(y_i) - D_i (\frac{\partial^2 W_{i1}}{\partial x_i^2} + \mu_i \frac{\partial^2 W_{i1}}{\partial y_i^2}) = M_i^l(y_i), \quad x_i = a_i \text{ 时 } (W_{i1})_{x_i=a_i} d_{i1}(y_i), D_i (\frac{\partial^2 W_{i1}}{\partial x_i^2} + \mu_i \frac{\partial^2 W_{i1}}{\partial y_i^2}) = M_{i+1}^l(y_i) \quad (2)$$

式(2)において $d_{i1}(y_i)$ 、 $d_{i+1}(y_i)$ 、 $M_i^l(y_i)$ および $M_{i+1}^l(y_i)$ は式(1)のごとくフーリエ級数で展開できるものとする。

$$d_{i1}(y_i) = \sum_{n=1}^{\infty} \sinh B_n y_i, \quad d_{i+1}(y_i) = \sum_{n=1}^{\infty} \sinh B_n y_i, \quad M_i^l(y_i) = \sum_{n=1}^{\infty} M_{i1}^n \sinh B_n y_i, \quad M_{i+1}^l(y_i) = \sum_{n=1}^{\infty} M_{i+1}^n \sinh B_n y_i \quad (3)$$

ここで、 M_{i1}^n 、 M_{i+1}^n および M_{i1}^n は任意定数である。

式(1)および式(3)を式(2)に代入すれば、構分定数 $A_{ni} \sim D_{ni}$ は連立方程式でえられるゆえ、これを解きその結果を式(1)に代入すれば、たわみ曲面 W_{i1} が次式のごとく求められる。

$$W_{i1}(x_i, y_i) = \frac{a_i^2}{D_i} \sum_{n=1}^{\infty} \left[A_{ni}(x_i) M_{i1}^n + E_{ni}(x_i) M_{i+1}^n + \frac{1}{\alpha_i^2} C_{ni}(x_i) D_i d_{i1}(y_i) \right] \sinh B_n x_i + \frac{4}{D_i} \sum_{m=1}^{\infty} \tilde{G}_{mn} \sinh A_m x_i \sin B_n y_i \quad (4)$$

ここで、 $A_{ni}(x_i) \sim d_{i1}(x_i)$ ； n および x_i の固有数、 \tilde{G}_{mn} ； m, n の固有数。

式(4)において、 M_{i1}^n 、 M_{i+1}^n 、 d_{i1} および d_{i+1} は依然未知定数であるが、これらはパネル①とこれを弾性支持する部材との間に成立する変形の連続条件より決定される。すなわち、(i)弾性支持ばりのたわみ $d_{i1}(y_i)$ は(1)部材に加バネル①の右端($x_i = a_i$)の板反力 $(V_{i+1})_{x_i=a_i}$ およびパネル①の左端($x_i = 0$)の板反力 $(V_{i1})_{x_i=0}$ の差 $\{(V_{i1})_{x_i=0} - (V_{i+1})_{x_i=a_i}\}$ を垂直荷重として受けた時に示す弾性曲線である。(ii)弾性支持ばりのパネル①の右端およびパネル①の左端の端モーメント $(M_i^l(y_i) + M_{i+1}^l(y_i))$ をねじりモーメント荷重と

1.2 座ける時のねじれ回転角はパネル④の右端および⑤の左端の x_1 軸方向にたわみ角に等しい。

他方、垂直荷重 $g(y)$ 、ねじりモーメント $M(y)$ の作用を受けるより部材のたわみ角 $\theta(y)$ およびねじれ回転角 $\varphi(y)$ は文献(1)によれば、フーリエ級数にて次式のごとく表わされる。

$$\theta(y) = \frac{E}{EI} \sum_{n=1}^{\infty} \frac{1}{n\pi^2} (g_n - \frac{2}{\pi} \sum_{j=1}^{r+1} R_j \sin n\pi \xi_j + \frac{2\pi n}{E^2} \sum_{j=1}^{r+1} M_j \cos n\pi \xi_j) \sin \frac{n\pi}{L} y \quad (5)$$

$$\varphi(y) = \frac{E}{GJ} \sum_{n=1}^{\infty} \frac{1}{n\pi^2} (M_n - \frac{2}{\pi} \sum_{j=1}^{r+1} M_{xj} \sin n\pi \xi_j) \sin \frac{n\pi}{L} y \quad (6)$$

ここで、 EI : より部材の曲げ剛性、 GJ : より部材のねじれ剛性、 $g_n = \frac{2}{L} \int_0^L g(y) \sin \frac{n\pi}{L} y dy$ 、 $M_n = \frac{2}{L} \int_0^L M(y) \sin \frac{n\pi}{L} y dy$ 。

R_j : より部材の中间支柱(点)反力、 M_{xj} 、 M_j : 中間支柱のねじれ方向の反力モーメント、 ξ_j : 中間支柱(点)の座標。
1. $\Gamma = 0$ の時、本題の弹性支持ばりしにつけ式(5)(6)を適用する時、 $g(y)$ の代りに $\{f(V_{xj})\}_{j=1}^r \{f(V_{xj})\}_{j=r+1}^m$ および $M(y)$ の代りに $\{M_{xj}(y)\}_{j=1}^r \{M_j(y)\}_{j=r+1}^m$ をそれぞれ適用すればよく、結局上記条件(i)(ii)は次式となる。

$$\begin{aligned} \bar{g}_{n,r} &= M_{x,n}^r + g_{n,r} M_{x,n}^r - \bar{g}_{n,r} M_{x,n}^r + \lambda \cdot \bar{h}_{n,r} \cdot D_o S_{n,r-1} \{1: h_{n,r-1} + \lambda: h_{n,r} + \frac{n\pi}{L}\} D_o S_{n,r} + \lambda \cdot \bar{h}_{n,r} D_o S_{n,r+1} \\ &\quad - \frac{2}{\pi} \sum_{j=1}^{r+1} R_j \sin n\pi \xi_j + \frac{2\pi n}{E^2} \sum_{j=1}^{r+1} M_j \cos n\pi \xi_j = \sum_{m=1}^{\infty} (G_{mn,r-1}(-1)^m - G_{mn,r}) \end{aligned} \quad (7)$$

$$\bar{e}_{n,r} = M_{x,n}^r + e_{n,r} M_{x,n}^r - \bar{e}_{n,r} M_{x,n}^r + \bar{f}_{n,r} D_o S_{n,r-1} \{f_{n,r-1} + f_{n,r}\} D_o S_{n,r} - \bar{f}_{n,r} D_o S_{n,r+1} = \sum_{m=1}^{\infty} (-1)^m G'_{mn,r} - G'_{mn,r-1} \quad (8)$$

$$(\bar{e}_{n,r} - 1: \frac{x_r}{f_{n,r}} \frac{L^2}{n^2\pi^2}) M_{x,n}^r + (e_{n,r} - 1: \frac{x_r}{f_{n,r}} \frac{L^2}{n^2\pi^2}) M_{x,n}^r + \lambda: f_{n,r} D_o S_{n,r-1} - 1: \bar{f}_{n,r} D_o S_{n,r+1} + \frac{2\pi n}{E^2} \sum_{j=1}^{r+1} M_j \cos n\pi \xi_j = \sum_{m=1}^{\infty} G'_{mn,r} \quad (9)$$

ここで、 $A = D_o / D$ 、 D_o : 基準剛度、 $\alpha = E D_o / E I L$ 、 $f_{n,r} = G J / E I L$ 、 $g_{n,r}$ 、 $\bar{g}_{n,r}$ 、 $\bar{h}_{n,r}$ 、 $e_{n,r}$ 、 $\bar{e}_{n,r}$ 、 $f_{n,r}$ 、 $\bar{f}_{n,r}$: ルの関数

$G_{mn,r}$ 、 $G'_{mn,r}$; 荷重はより定まる m, n の関数。

すなはち、式(7)(8)(9)に含まれる弹性支持ばりの中の不静定量 R_j 、 M_{xj} 、 M_j は文献(1)と同様、より部材と中间支柱(点)との変形条件式を下に示す: すなはちより部材の θ と φ が中间支柱(点)の θ と φ に等しくなることと、支承の沈下量および y 方向回転角。

$$\left. \begin{aligned} \sum_{k=1}^r D_{k,r}^2 R_j^2 - \frac{2}{\pi} \sum_{j=1}^{r+1} D_{k,r}^2 M_{xj}^2 &= \frac{1}{2} D_{k,r}^2 + F^2 d_k^2, \quad (k=1, \dots, r) \\ \sum_{k=1}^r D_{k,r}^2 R_j^2 - \frac{2}{\pi} \sum_{j=1}^{r+1} D_{k,r}^2 M_j^2 &= \frac{1}{2} D_{k,r}^2 - F^2 \theta_{k,r}^2 / \pi, \quad (k=1, \dots, r+1) \end{aligned} \right\} \quad (10)$$

$$\sum_{k=1}^r D_{k,r}^2 U_{k,r}^2 M_{xj}^2 = U_{k,r}^2 + K^2 \theta_{k,r}^2, \quad (k=1, \dots, r) \quad *$$

*: $F = E I L \pi^2 / 2a^3$, $K = G J / L$ 、左辺の諸係数は形状差数、右辺第1項は荷重値、 d_k 、 $\theta_{k,r}$ 、 $\varphi_{k,r}$ 支柱の沈下量および y 方向回転角。

$$\begin{aligned} D_{k,r}^2 &= \sum_{n=1}^{\infty} \frac{1}{n^2\pi^2} (V_{x,n,r}^2 - V_{x,n,r-1}^2) \sin n\pi \xi_j, \quad D_{k,r} = \sum_{n=1}^{\infty} \frac{1}{n\pi} (V_{x,n,r} - V_{x,n,r-1}) \cos n\pi \xi_j \\ U_{k,r}^2 &= \sum_{n=1}^{\infty} \frac{2}{n\pi} (M_{x,n}^r + M_{x,n}^r) \sin n\pi \xi_j \end{aligned}$$

$$V_{x,r-1} - V_{x,r-1,r} = \bar{g}_{n,r} M_{x,n}^r + g_{n,r} M_{x,n}^r - \bar{g}_{n,r} M_{x,n}^r + \lambda \cdot \bar{h}_{n,r} \cdot D_o S_{n,r-1} \{1: h_{n,r-1} + \lambda: h_{n,r} + \frac{n\pi}{L}\} D_o S_{n,r} + \lambda \cdot \bar{h}_{n,r} S_{n,r-1} \sum_{m=1}^{\infty} (G_{mn,r-1}(-1)^m - G_{mn,r})$$

式(10)～(10)が各弹性支持ばり毎に成立するゆえ、未知数 $M_{x,n}^r$ 、 $M_{x,n}^r$ 、 $D_o S_{n,r}$ および R_j 、 M_{xj} 、 M_j の数は方程式の数と一致する。したがって、これらの未知数はすべての弹性支持ばり $j = 1$ (式(10)～(10))と連立して解くべきである。これらに $M_{x,n}^r$ 、 $M_{x,n}^r$ 、 $S_{n,r}$ を式(4)に用いればたわみ値が決定され、このたわみ値より各部材の諸変位、諸断面力を求まり、本題の一方向連続板が解けることとなる。

3. 計算例 図-2 に示すごとき 2 スパン連続矩形板加筋で単純支持され、中间に一本のアスパニ連続ばりとして弹性支持され、かつ第1スパンに等分布荷重が作用をうけた場合のたわみ図および y 方向回転モーメントを示せば

(2)～(3)(4)のごとくである。

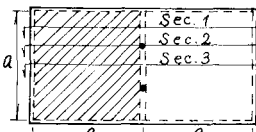


図-2

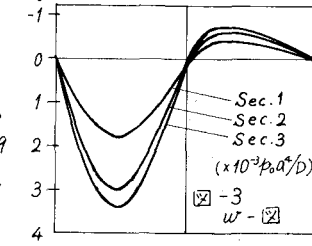


図-3 $w - \square$

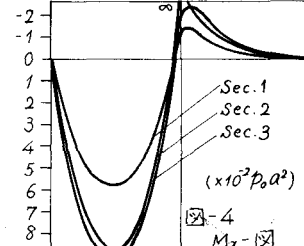


図-4 $M_z - \square$

参考文献(1)山崎穂木全子“一对辺からメンと用いた等分布荷重問題の解法”九大工学集報 第41巻 第2号 昭和43年2月